

## บทสรุปผู้บริหาร (Executive summary)

โครงการนวัตกรรมนี้เป็นการผลิตเมมเบรนอิเล็กโทรดแอสแสมบลี (MEA) สำหรับเซลล์เชื้อเพลิงชนิดพอลิเมอร์อิเล็กโทรไลท์เมมเบรน ซึ่ง MEA เป็นส่วนประกอบที่สำคัญที่สุดในเซลล์เชื้อเพลิง เพราะเป็นที่ที่มีการเกิดปฏิกิริยาไฟฟ้าเคมี (ข้ออธิเดชันและรีดักชัน) โดยมีตัวเร่งปฏิกิริยาเป็นตัวกระตุ้นให้เกิดปฏิกิริยา ดังนั้น การเคลือบตัวเร่งปฏิกิริยาลงบนพื้นผิวเมมเบรนจึงได้รับการวิจัยจากคณะผู้วิจัย โดยใช้การเคลือบตัวเร่งปฏิกิริยาโดยตรงบนเมมเบรน โดยใช้เทคนิคการพ่นแบบความถี่สูง (Ultrasonic Spraying) แทนการพ่นด้วยความดันสูง หรือการระไยด้วยภูเขา กังหันมาในอดีต

MEA ที่ผลิตได้ จะได้รับการประกอบให้เป็นเซลล์เชื้อเพลิงเพื่อนำมาทดสอบประสิทธิภาพ โดยการวัดประสิทธิภาพของ MEA ที่ใช้เปรียบเทียบอยู่ในสภาพการทำงานเดียวกันทุกประการ ในการศึกษาเชิงลึกพบว่า MEA ที่ผลิตได้มีชั้นตัวเร่งปฏิกิริยา (Catalyst Layer : CL) ที่ได้รับการเคลือบจากเครื่องเคลือบฯ มีความเป็นรูพรุนต่ำข้างมาก และมีการจัดเรียงตัวกันที่เป็นระเบียบแบบ Layer by layer และมีความหนาของชั้นตัวเร่งปฏิกิริยาเพียง 15 ไมครอน ทำให้โอกาสการเข้าไปทำปฏิกิริยาของก๊าซ (ไฮโดรเจนและออกซิเจน) มีมากขึ้น และการถ่ายเทน้ำที่เกิดจากปฏิกิริยาดีชั้น นอกจากนี้การเคลือบด้วยเครื่องนี้ทำให้เกิดชั้นบางขึ้น ระหว่างชั้นตัวเร่งปฏิกิริยาและเมมเบรน ทำให้ช่วยในการถ่ายเทออกอน  $H^+$  จากชั้นปฏิกิริยาไปยังเมมเบรนได้ดีขึ้น

อย่างไรก็ตามจากการศึกษาจำนวนพื้นผิวของแพลตินัมด้วยเทคนิคการดูดซับด้วยเคมี และเทคนิคทางไฟฟ้าเคมี พบร่วมแพลตินัมสูญเสียพื้นที่ผิวมากถึง 80% เมื่อนำมาผลิตเป็น MEA ซึ่ง 52% มาจากการถูกไอโอดอนโนเมอร์ ( $Nafion$ ) ปกคลุม และอีก 28% มาจากการทำงานของเซลล์เชื้อเพลิงในสภาพที่มีความชื้นสูง และการถูกจำกัดการถ่ายเทออกอน  $H^+$  ในชั้นตัวเร่งปฏิกิริยา จะเห็นได้ว่าเรายังมีโอกาสที่จะสามารถศึกษาและวิจัยเพื่อที่จะลดความสูญเสียพื้นที่ผิวของแพลตินัมให้ต่ำลงได้ในอนาคต เพื่อเพิ่มการใช้ประโยชน์ของแพลตินัมและการเพิ่มประสิทธิภาพของเซลล์เชื้อเพลิงในที่สุด

## 1. วัตถุประสงค์งานวิจัย

- 1.1 ศึกษาสัดส่วนโดยมวลของ Nafion ต่อ ตัวเร่งปฏิกิริยา สำหรับเทคนิคการพ่นเคลือบโดยตรงด้วย เทคนิคการพ่นด้วยคลื่น Ultrasonic
- 1.2 วิเคราะห์ทางด้านกายภาพของเมมเบรนอิเล็ก trod และสมบลีด้วยกล้องอิเล็กตรอนแบบส่อง กระดาษและส่องผ่าน
- 1.3 ศึกษาและคำนวนปริมาณแพลตินัมด้วยเทคนิคการดูดซับทางเคมีด้วยไฮโดรเจน และ ด้วย เทคนิคทางด้านไฟฟ้าเคมี
- 1.4 ศึกษาการสูญเสียพื้นที่ผิว (หรือพื้นที่ก่อกรรมมันต์) เมื่อตัวเร่งปฏิกิริยาถูกนำมาผลิตเป็นเมมเบรน อิเล็ก trod และสมบลี

## 2. ระเบียบวิธีวิจัย

### 2.1 การผลิตเมมเบรนอิเล็ก trod และสมบลี

ตัวเร่งปฏิกิริยาทางการค้า (Johnson Matthey) ที่มีสัดส่วนโดยมวล Pt/C ที่ 20%wt ถูกนำมาเป็นตัวเร่งปฏิกิริยาในการผลิตเมมเบรนอิเล็ก trod และสมบลี โดยน้ำหนักตัวเร่งปฏิกิริยาประกอบไปด้วย ตัวเร่งปฏิกิริยา Nafion solution 5% และ Ethanol ตามสัดส่วนที่เหมาะสม ผสมกันโดยใช้เครื่องเขย่าแบบอัลตราโซนิก ประมาณ 15 นาที แผ่นอิเล็ก trod ไลท์เมมเบรน (Nafion XL จาก DuPont) ถูกนำมาตีรีด รีเซ็ตแล้ว นำไปหุงาบนในด้วยหัวพ่น Ultrasonic Spraying (สร้างขึ้นมาเอง โดยได้รับรางวัลสิ่งประดิษฐ์แห่งชาติ จาก วช. ประจำปี พ.ศ. 2556) หลังจากนั้น ตัวเร่งปฏิกิริยาได้รับการพ่นด้วยระบบ Ultrasonic spraying เพื่อให้ได้พื้นที่ทำปฏิกิริยา 23 ตารางเซนติเมตร และมี Pt loading ที่  $0.3 \text{ mg/cm}^2$  ณ อุณหภูมิขณะพ่นที่  $80^\circ\text{C}$  แผ่นเมมเบรนที่ พ่นเสร็จจะได้รับการอบที่อุณหภูมิ  $75^\circ\text{C}$  เป็นเวลา 2 ชั่วโมง จากนั้นอีกด้านหนึ่งของอิเล็ก trod ที่เมมเบรน ก็ จะได้รับการพ่นด้วยวิธีเดียวกันข้างต้น จึงได้เมมเบรนอิเล็ก trod และสมบลีที่สมบูรณ์จากการพ่นตรงจากนั้นนำไปประกอบเป็นเซลล์เชือเพลิง

### 2.2 การทดสอบประสิทธิภาพเซลล์เชือเพลิง และการทดสอบทางไฟฟ้าเคมีด้วยเทคนิค Cyclic Voltammetry

MEA ที่ผลิตได้จะนำไปประกอบเป็นเซลล์เชือเพลิง และทำการ Conditioning MEA ก่อนเป็นเวลา 2 ชั่วโมง ด้วยการแก่ของศักย์ไฟฟ้าที่ 30 วินาที ระหว่าง OCV (Open circuit voltage)-0.6 V และ OCV-0.4 V แล้วจึงนำไปทดสอบประสิทธิภาพเซลล์เชือเพลิง โดยเทคนิคความดันไฟฟ้าคงที่ โดยใช้อิเล็กโตรนิคโอลด์ (Model 830e, Scribner Association Inc.) โดยที่อุณหภูมิขณะทำการทดสอบที่  $75^\circ\text{C}$  ความชื้นที่อยู่ในดัง คาดที่ 95%-95% RH ความดัน 1 ความตันบรรยากาศทั้งสองฝั่ง และมีอัตราส่วนการเข้าทำปฏิกิริยาของไฮโดรเจนและออกซิเจน ที่ 1.2/2.0 เท่าของอัตราส่วนการเข้าทำปฏิกิริยา (Stoichiometry) ทางทฤษฎี การดึง

กระแสและการบ่อนกําชไนโตรเจนและการควบคุมโดยการโปรแกรมจากคอมพิวเตอร์ เพื่อให้การทำงาน เชลล์เชือเพลิงเป็นไปอย่างอัตโนมัติ

การทดสอบทางไฟฟ้าเคมีด้วยเทคนิค Cyclic Voltammetry กําชไนโตรเจนจะถูกบ่อนที่ขั้วคาด้วย อัตราความเร็ว 300 sccm (standard cubic centimeter per minute) เพื่อเป็น working electrode และกําชไนโตรเจนจะถูกบ่อนที่ขั้วอโนไดด์ด้วยอัตราความเร็ว 300 sccm เพื่อใช้เป็น Reference electrode โดยการสแกน จะใช้อัตราการสแกนต่ำกว่า 25 mV/sec จาก OCV ไปยัง 1.14 V และข้อมูลกลับมาที่ OCV เป็นจำนวนอย่างน้อย 10 รอบ ด้วยเครื่อง Potentiostat/Galvanostat (Princeton Applied Research, รุ่น 263A) โดยที่ความชื้นทั้งอาโนไดด์และคาด้วยถูกความคุณให้เท่ากันที่ 95%RH, และความดันทางออกมีค่าเท่ากันทั้งสองด้าน คือ 1 ความดันบรรยากาศ จะทำให้ได้กราฟความสัมพันธ์ระหว่างความหนาแน่นกระแส และความต่างศักย์ เพื่อใช้ในการคำนวนหาปริมาณแพลตินัมที่เกิดจากปฏิกิริยาไฟฟ้าเคมี

### 2.3 การวิเคราะห์ MEA ทางกายภาพ โดย Electron microscopy

MEA ได้รับการวิเคราะห์ทางกายภาพ โดยการนำไปส่องกล้องจุลทรรศน์อิเล็กตรอนทั้งแบบส่องกราด (SEM) และ แบบส่องผ่าน (TEM)

กล้องอิเล็กตรอนแบบส่องกราด (JEOL JSM-6335F) ทำงานที่พลังงาน 15kV ประคบไปด้วย Energy Dispersive X-ray analysis (EDX) ถูกนำมาจ่ายภาพด้วยแสงของ MEA และทำการวิเคราะห์ธาตุพื้นฐานของบริเวณที่ทำการพ่นตัวเร่งปฏิกิริยา เรียกว่า Catalyst layer โดย MEA ที่ผลิตได้จะถูกนำมาตัดภายใต้บรรยากาศของไนโตรเจนเหลว ก่อนจะถูกนำไปวิเคราะห์ด้วยเทคนิคนี้

กล้องอิเล็กตรอนแบบส่องผ่าน (JEOL JEM-2010) ทำงานที่พลังงาน 200 kV พั่อมด้วยอุปกรณ์ Energy Dispersive X-ray analysis ถูกนำมาจ่ายเพื่อวิเคราะห์รอยต่อระหว่าง Catalyst layer และ อิเล็กโทรไลท์เมมเบรน เพื่อดูประสิทธิภาพของการพ่นเคลือบด้วยเทคนิค Ultrasonic spraying โดยชิ้นงานจะได้รับการเตรียมด้วยวิธี Cryo-microtome เพื่อเนื่องชั้นงานในลักษณะภาคตัดขวางที่มีความบางมากจนกระทั่งสามารถส่องผ่านไปได้

### 2.4 การวิเคราะห์ปริมาณแพลตินัมโดยเทคนิค Chemisorption

MEA ถูกตัดในส่วนที่พ่นเคลือบให้เป็นชิ้น ชิ้นละขนาด 0.5 cm x 5.0 cm นำหันหมดใส่ลงใน reactor ที่มีขนาดเส้นผ่าศูนย์กลาง 1.0 cm ในเครื่อง Micromeritics AutoChem 2920 Automated Analyzer จากนั้นก็ทำการ pre-treat MEA ด้วยการบ่อนกําช 10% H<sub>2</sub> ใน Ar เป็นเวลา 4 ชั่วโมง ที่อุณหภูมิ 75 °C เพื่อทำการกำจัดออกซิเจนที่เกาะอยู่บนพื้นผิวแพลตินัมของตัวเร่งปฏิกิริยา Pt/C ของ MEA จากนั้นลดอุณหภูมิลงมาที่ 40 °C จากนั้นก็บ่อนกําช 10% O<sub>2</sub> ใน He แก่ MEA เป็นเวลา 30 นาที และ purge ด้วย Ar เป็นเวลา 30 นาที แล้วเริ่ม titrate Pt-O ด้วย 10% H<sub>2</sub> ใน Ar เป็น pulse และเปลี่ยนการ adsorption เป็น Pt-H ปริมาณของ H<sub>2</sub> titration

ทั้งหมดจะถูกนำมาคำนวณเพื่อหาปริมาณพื้นผิวด้วย Pt sites โดย 1.0 มิลลิกรัมของ Pt-H จะมีค่าเท่ากับ 1.5 มิลลิกรัมของ H<sub>2</sub> จากนั้นเม้นเบรนเปล่าที่ไม่ได้รับการพ่นเคลือบด้วย Pt/H จึงได้รับการพ่นเคลือบด้วย Pt/C เพื่อศึกษาการ adsorption ของเมเนเบรนกับ H<sub>2</sub>

### 3. ผลการวิจัยและอภิปรายผล

#### 3.1 ผลของการใช้ปริมาณ Nafion

Nafion solution 5% wt ที่ใช้เป็นส่วนหนึ่งของ catalyst ink ได้รับการศึกษาโดยการใช้ปริมาณที่แตกต่างกัน 4 ค่า ดังแสดงในตารางที่ 1 ซึ่งถูกคำนวณออกมาให้อยู่ในอัตราส่วนโดยมวลของ Nafion ต่อน้ำหนักของตัวเร่งปฏิกิริยา Pt/C ที่ใช้

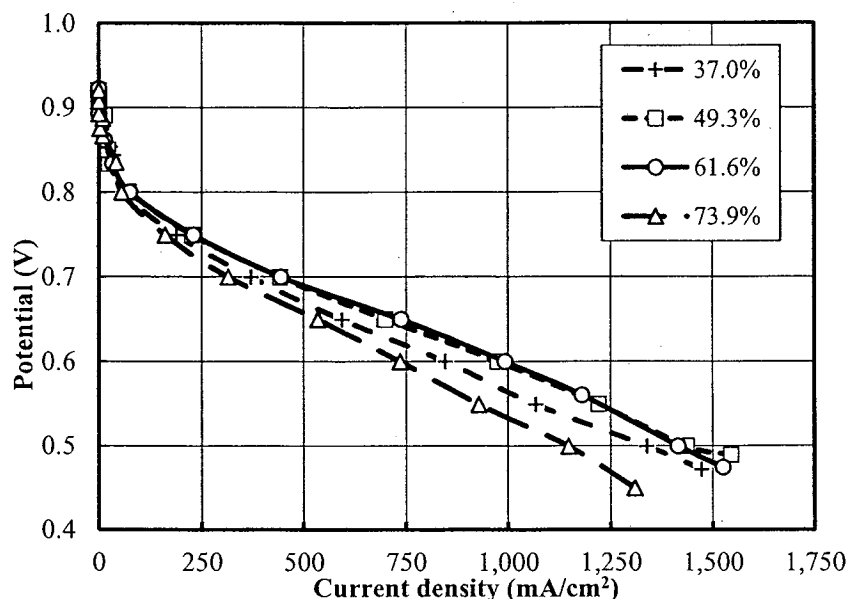
ตารางที่ 1 แสดงปริมาณการใช้ Nafion solution 5% ที่แตกต่างกันใน catalyst ink และอัตราส่วนเป็น percent โดยมวลของ Nafion ต่อ น้ำหนักของตัวเร่งปฏิกิริยา Pt/C

Nafion solution 5% wt added in catalyst inks ( $\mu$ L)	Dry Nafion weight (mg)	Pt/C catalyst weight (mg)	Percent weight of Nafion per Pt/C (%)
300	12.7	34.5	37.0%
400	17.0	34.5	49.3%
500	21.2	34.5	61.6%
600	25.5	34.5	73.9%

MEA ได้รับการผลิตจากการใช้ปริมาณ Nafion solution ที่แตกต่างกัน แล้วทำการพ่นเคลือบด้วย Ultrasonic spraying เมื่อนำมาประจุกوبเป็นเซลล์เชือกเพลิง และผลการทดสอบประสิทธิภาพ ได้แสดงในรูปที่ 1 โดยอัตราส่วนโดยมวลของ Nafion ต่อตัวเร่งปฏิกิริยา Pt/C ที่ใช้คือ 37.0%, 49.3%, 61.6% และ 73.9% เมื่อ MEA เกิดปฏิกิริยาไฟฟ้าเคมีในช่วง Kinetic region (ความด่างศักย์อยู่ระหว่าง OCV – 0.8 V) พบร่วมกัน MEA ให้ค่า Polarization ที่คล้ายกัน คือความด่างศักย์ต่ำลงอย่างรวดเร็ว เนื่องมาจากข้อจำกัดของการเกิดปฏิกิริยา รีดักชันของอ็อกซิเจนทางผิวคาด และไม่ขึ้นอยู่กับปริมาณ Nafion ที่ใช้

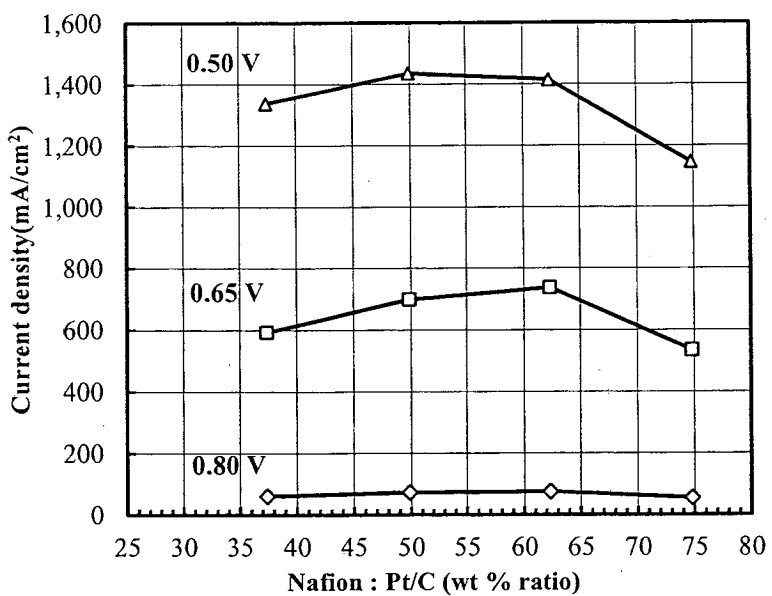
เมื่อปฏิกิริยาเกิดขึ้นในช่วงศักย์ไฟฟ้าที่ 0.80 – 0.45 เป็นช่วงของ Ohmic region และ Mass transfer region ซึ่งเป็นผลมาจากการด้านทางกายในของ MEA และ การเข้าไปทำปฏิกิริยาไฟฟ้าเคมีของก๊าซตั้งต้น (ไฮโดรเจน และ อออกซิเจน/อากาศ) จะเห็นความแตกต่างของประสิทธิภาพของ MEA โดยที่ สัดส่วน Nafion 49.3% และ 61.6% โดยมวล ให้ค่าความหนาแน่นกระแสที่ใกล้เคียงกันและสูงกว่าสัดส่วน Nafion ที่ 37.0%

และที่ลัดส่วน 73.9% ให้ค่าความหนาแน่นกระแสที่น้อยที่สุด ความแตกต่างของประสิทธิภาพที่ได้ขึ้นอยู่กับปริมาณของ Nafion ที่ใช้ใน MEA



รูปที่ 1 Polarization curve ของ MEA ที่ใช้ปริมาณ Nafion ที่แตกต่างกัน โดยเปอร์เซ็นต์โดยมวลของ Nafion ต่อมวลของตัวเร่งปฏิกิริยา คือ 37.0%, 49.3%, 61.6% และ 73.9%

เพื่อให้การวิเคราะห์ได้ดีขึ้น จึงได้นำค่าความหนาแน่นกระแสจากการฟรุทที่ 1 ที่ศักย์ไฟฟ้า 0.80, 0.65 และ 0.50 โวลต์ มาพล็อตกราฟระหว่างอัตราส่วนโดยมวลของ Nafion กับความหนาแน่นกระแส ดังแสดงในรูปที่ 2



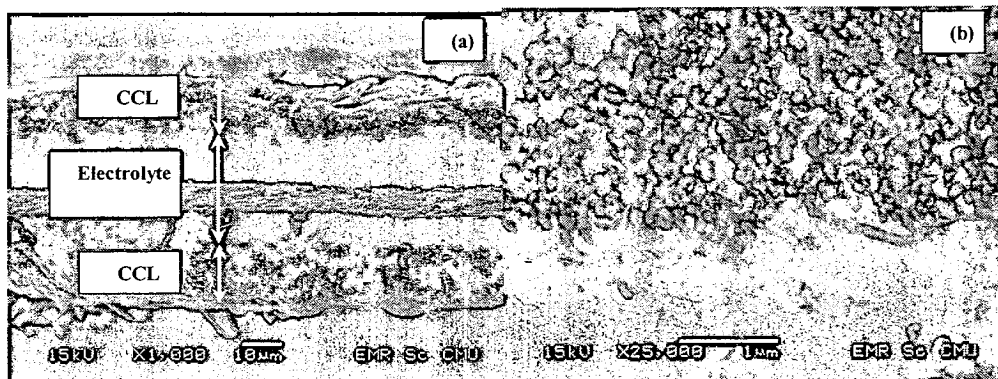
รูปที่ 2 กราฟความสัมพันธ์ระหว่าง %wt Nafion กับความหนาแน่นกระแสที่ได้ของ MEA ณ ศักย์ไฟฟ้าของเซลล์เชื้อเพลิงที่ 0.80, 0.65, และ 0.55 โวลต์

จากข้อมูลในรูปที่ 2 จะเห็นว่าความหนาแน่นกระแสจะมีค่าสูงสุดอยู่ที่ปริมาณ Nafion ที่เหมาะสมค่าหนึ่ง ค่า Nafion ที่เหมาะสมควรจะมีสัดส่วนโดยมวลของ Nafion ต่อตัวเร่งปฏิกิริยาที่ประมาณ 50–62%wt เพาะาะถ้าปริมาณ Nafion ที่มากเกินไปจะทำให้ Nafion เคลื่อนตัวเร่งปฏิกิริยามากเกินไปทำให้ไปขัดขวางการเข้าไปทำปฏิกิริยาของก้าชตั้งตัน ส่งผลถึงการถ่ายเทมวลโดยตรง นอกจากนี้ Nafion มีคุณสมบัติ Hydrophilic ทำให้ที่ปริมาณ Nafion มากเกินจะทำให้มีน้ำสะสมภายใน Catalyst layer และขัดขวางการเข้าทำปฏิกิริยาของสารตั้งต้น โดยเฉพาะช่วงความหนาแน่นกระแสสูงๆ จะเห็นว่าประสิทธิภาพของ Nafion 73.9% ลดลงอย่างมีนัยสำคัญ ที่ความหนาแน่นกระแสสูง ในทางตรงข้ามถ้าปริมาณ Nafion น้อยเกินไปจะทำให้การถ่ายเทไฮโดรเจนออกอน ( $H^+$ ) ได้ไม่ดี ทำให้การเกิดปฏิกิริยาไฟฟ้าเคมีซ้ำทำให้ประสิทธิภาพเซลล์เชื้อเพลิงลดลงตั้ง เช่น Nafion 37.0%wt

ดังนั้นปริมาณของ Ionomer (Nafion) จึงเป็นตัวแปรที่สำคัญอันหนึ่งที่กระทบต่อการเกิดปฏิกิริยาไฟฟ้าเคมีสำหรับเซลล์เชื้อเพลิงชนิดนี้ ซึ่งทำหน้าที่ให้  $H^+$  เคลื่อนที่จาก reaction zone ที่อะโนดมายังอิเล็กโทรไลท์ เมมเบรนและเคลื่อนที่เข้าไปยัง reaction zone ที่คาก็อด เพื่อให้เกิดปฏิกิริยาไฟฟ้าเคมีที่สมบูรณ์ได้ และจากเทคนิคการพ่นเคลื่อนตัวโดย Ultrasonic spraying นี้ ปริมาณที่เหมาะสมของ Nafion ที่ควรจะใช้ในการเตรียม MEA คือ ประมาณ 50 – 62%wt

### 3.2 การวิเคราะห์ MEA ด้วยกล้องจุลทรรศน์อิเล็กตรอน

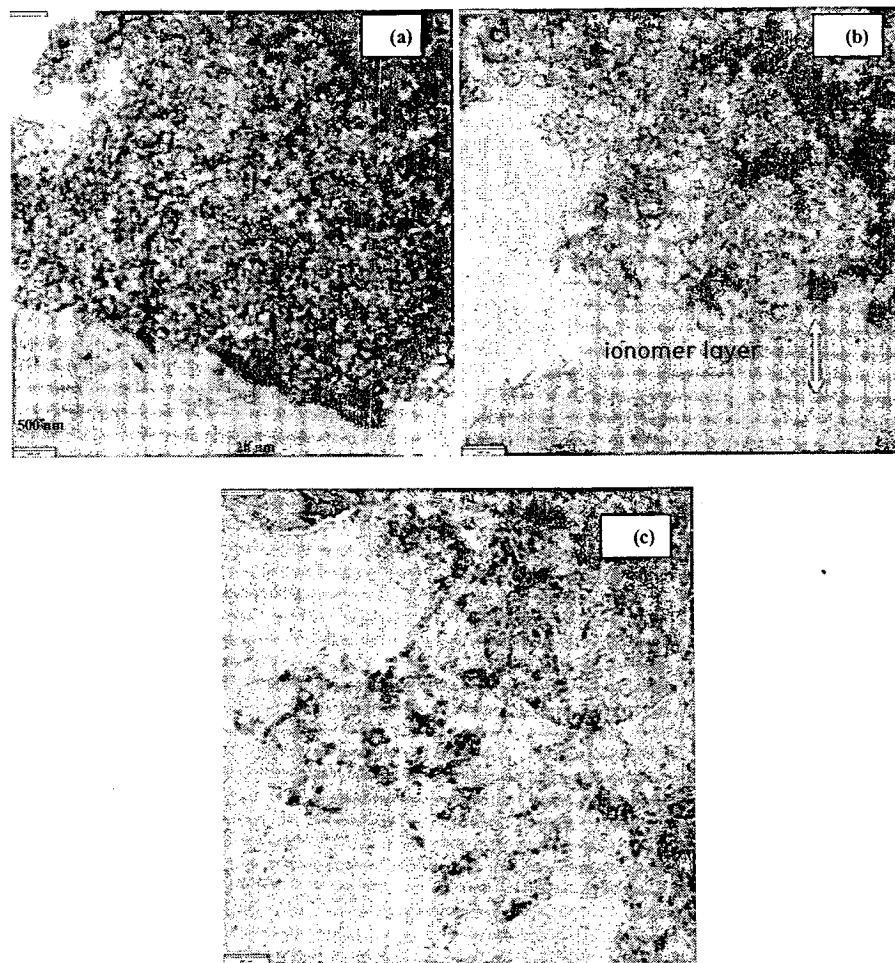
MEA ที่ใช้ปริมาณ Nafion ที่ 49.3%wt ได้รับการนำมาวิเคราะห์ด้วยกล้องจุลทรรศน์อิเล็กตรอน เพื่อศึกษาดูบริเวณรอยต่อระหว่างอิเล็กโทรไลท์เมมเบรนและชั้น Catalyst layer ที่ได้รับการพ่นเคลือบด้วยเทคนิค Ultrasonic spraying รูปที่ 3(a) แสดงถึงภาพถ่ายจากกล้อง SEM ในรูปภาพด้านขวาของ MEA จะเห็นว่าชั้น catalyst layer ทั้งสองฝั่งมีความหนาประมาณ 15 ไมครอนเมตร และยึดติดกับพื้นผิวของอิเล็กโทรไลท์เป็นอย่างดี ดังแสดงในรูปข้าย奕 รูปที่ 3(b) ที่กำลังขยาย 25,000 เท่า และเมื่อพิจารณาในชั้นของ catalyst layer จะเห็นว่าอนุภาคของตัวรองรับคาร์บอนนาวดเรียงตัวกันแบบ layer by layer อันเป็นผลมาจากการพ่นเคลือบด้วย Ultrasonic spraying โดยมีช่องว่างที่เป็นทางเข้าและออกของก๊าซที่จะเข้าทำปฏิกิริยา และน้ำจากปฏิกิริยาสามารถออกໄไปได้ MEA ที่ได้จึงมีประสิทธิภาพที่ดีในเรื่องของการถ่ายเทมวลของหั้งสารตั้งต้นที่จะเข้าทำปฏิกิริยา และสารผลิตภัณฑ์ที่ได้จากการเกิดปฏิกิริยา ซึ่งจะเป็นผลดีโดยเฉพาะการทำงานที่ความหนาแน่นกระแลสูงๆ



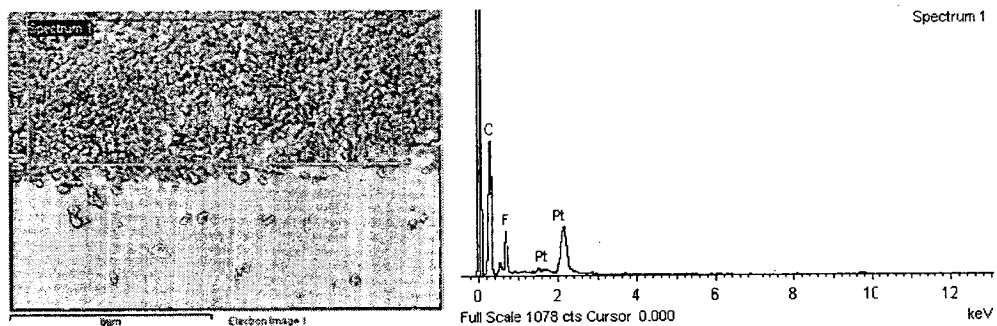
รูปที่ 3 ภาพดัดขาวของ MEA ที่มีปริมาณ Nafion 49.3%wt วิเคราะห์จากกล้อง SEM (a) Catalyst layer/electrolyte membrane/catalyst layer ที่กำลังขยาย 1,000 เท่า, (b) รอยต่อระหว่าง Catalyst layer และ electrolyte membrane ที่กำลังขยาย 25,000 เท่า

เมื่อนำ MEA มาวิเคราะห์ด้วยกล้อง TEM ดังแสดงในรูปที่ 4 จะเห็นว่าที่กำลังขยาย 4,000 เท่า (รูปที่ 4(a)) จะเห็นว่าชั้นรอยต่อระหว่าง catalyst layer และ อิเล็กโทรไลท์เมมเบรน อย่างชัดเจนและมีตัวเร่งปฏิกิริยาบางส่วนอยู่ในอิเล็กโทรไลท์เมมเบรน ที่กำลังขยายมากขึ้นดังรูปที่ 4(b) จะเห็นว่าที่รอยต่อของ catalyst layer และ อิเล็กโทรไลท์เมมเบรนจะมีชั้นฟิล์มบางๆ ของ ionomer (Nafion) ประسانอยู่ ซึ่งแสดงให้เห็นถึง Nafion ที่ใช้ไปในการเชื่อมต่อเพื่อเพิ่มการเคลื่อนที่ของไฮดรเจนออกอนจาก reaction zone ที่ชั้น catalyst layer ไปยังอิเล็กโทรไลท์เมมเบรน เพื่อให้เกิดปฏิกิริยา redox (reduction – oxidation reaction) ที่สมบูรณ์

เมื่อเพิ่มกำลังขยายเพิ่มขึ้นและพิจารณาที่ชั้น catalyst layer ดังแสดงในรูปที่ 4(c) จะเห็นว่าตัวเร่งปฏิกิริยา (สีเข้ม) กระจายตัวอยู่บนอนุภาคของคาร์บอนที่เป็นตัวรองรับ (สีเทา) ซึ่งภาพที่ได้จาก MEA ไม่แตกต่างจากภาพที่ได้จากการวิเคราะห์ตัวเร่งปฏิกิริยาอย่างเดียว จากกล้อง TEM แสดงให้เห็นว่าเทคนิคการพ่นเคลือบด้วย Ultrasonic spraying ไม่ได้ทำให้โครงสร้างหรือแรงยึดเหนี่ยวของอนุภาคแพลตินัมบนคาร์บอนเปลี่ยนแปลงไป อย่างไร้ตามการวิเคราะห์ด้วย TEM ในชั้น catalyst layer นี้ไม่สามารถที่จะมองเห็นโครงสร้างของ Nafion ในชั้น catalyst layer อย่างชัดเจน เนื่องมาจากราบ Nafion มีลักษณะโปร่งแสง ดังนั้นการวิเคราะห์หา Nafion ในชั้น catalyst layer จึงต้องใช้เทคนิค EDX เข้ามาช่วย



รูปที่ 4 ภาพจาก TEM ของ MEA ที่ปริมาณ Nafion 49.3%wt ที่ชั้นรอยต่อระหว่าง Catalyst layer และ อิเล็กโทรไลท์เมมเบรน (a) ที่กำลังขยาย 4,000 เท่า, (b) ที่กำลังขยาย 20,000 เท่า, และ (c) บริเวณชั้น catalyst layer ของ MEA ที่กำลังขยาย 100,000 เท่า โดยที่อนุภาคสีดำคือตัวเร่งปฏิกิริยาแพลตินัม



รูปที่ 5 ผลการวิเคราะห์ MEA (49.3%wt of Nafion) ด้วย EDX โดยสารที่ทำการวิเคราะห์คือ แพลตินัม คาร์บอน และ พลูอโอล์ จากชั้น catalyst layer

เมื่อนำชั้น catalyst layer ของ MEA 49.3%wt Nafion มาวิเคราะห์ ดังแสดงในรูปที่ 5 จะสังเกตเห็น สัญญาณจากราฟของพลูอโอล์ในชั้น catalyst layer (CL) ซึ่งปั่งบวกถึงการกระจายตัวของ Nafion (พลูอโอล์ เป็นองค์ประกอบหลักของ Nafion) ไปทั่วทั้งชั้น Catalyst layer (CL) ทำให้เกิดโครงข่ายของ Nafion ทั่วทั้ง ชั้นและเป็นทางเดินของไฮดรเจนออกอนจากปฏิกิริยา oxidation จากออกอนด์ ไปยังค่าトイคเพื่อให้เกิดปฏิกิริยา reduction จากการคำนวณเชิงปริมาณทำให้ทราบถึงสัดส่วนโดยมวลของพลูอโอล์มีอยู่ประมาณ 26.6% ออยู่ ในชั้น CL ดังแสดงในตารางที่ 2 และเมื่อพิจารณาสัดส่วนโดยมวลเฉพาะ Pt และ C (คอลัมน์ที่ 3 ตาราง 2) จะพบว่ามี Pt ออยู่ประมาณ 17% ซึ่งใกล้เคียงกับปริมาณ Pt ที่ใช้จากการตัวเร่งปฏิกิริยาคือ 20%wt Pt/C

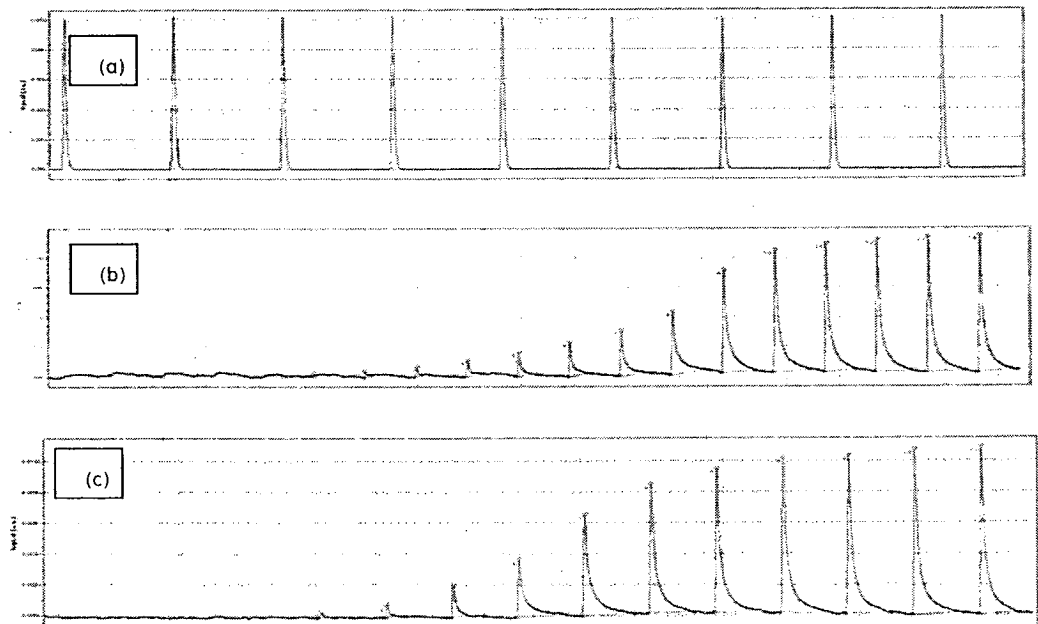
ตารางที่ 2 แสดงผลจากการวิเคราะห์ EDX ของชั้น catalyst layer MEA โดยวิเคราะห์ชาตุ แพลตินัม คาร์บอน และ พลูอโอล์ จากรูปที่ 5

Element	Weight %	C, Pt Weight %
C	60.9	83.07
F	26.6	-
Pt	12.5	17.0

### 3.3 การวิเคราะห์ด้วย Chemisorption

ผลการ uptake ไฮดรเจนบนชิ้นงาน เมมเบรนเปล่า ผงตัวเร่งปฏิกิริยา และ MEA ได้แสดงในรูปที่ 6 โดย MEA ที่ใช้ในการทดสอบนี้เป็น MEA ที่มีปริมาณ Nafion : Pt/C อยู่ 49.3% โดยมวล จากสเปกตัมที่ได้ของ เมมเบรนเปล่าในรูปที่ 6 (a) จะเห็นว่า ไม่มีการคุดซับของไฮดรเจนลงบนพื้นผิวของเมมเบรนเปล่าแต่อย่างใด ซึ่งปริมาณของไฮดรเจนที่วัดได้ที่ทางออกมีค่าไม่เปลี่ยนแปลงและคงที่ตลอดทั้ง 8 สเปกตรัม ด้วยเหตุนี้จึงสรุปได้ว่า Nafion ® solution หรือ ไอโอดอนโนเมอร์ ที่อยู่ในชั้น CL ของ MEA ไม่มีผลต่อการคุดซับทางเคมี เหมือนกัน ดังนั้นการคุดซับทางเคมีใน MEA จึงเป็นผลจากตัวเร่งปฏิกิริยาอย่างเดียว

เมื่อพิจารณาการดูดซับทางเคมีของผงตัวเร่งปฏิกิริยา รูปที่ 6 (b) ที่อยู่ในรูปอนุภาคตัวเร่งปฏิกิริยาบนตัวรองรับcarbon พบร่วมกับสเปกตรัมของไฮโดรเจนค่อนข้างแบนราบในช่วง 5 รอบของการ uptake บ่งบอกถึงการดูดซับไฮโดรเจนของตัวเร่งปฏิกิริยาที่สมบูรณ์ และสเปกตรัมก็ค่อนข้าง มีความชันสูงขึ้น จนมีค่าใกล้เคียงกันใน 3 สเปกตรัมสุดท้าย ซึ่งเป็นการดูดซับที่อิมตัวและไม่สามารถดูดซับไฮโดรเจนของตัวเร่งปฏิกิริยาอีกต่อไป ในทำนองเดียวกัน เมื่อหันงานเป็น MEA ไฮโดรเจนที่มีการถูกดูดซับที่สมบูรณ์ในสเปกตรัมแรก และเริ่มเข้าสู่สภาวะการอิมตัว จนกระทั่งไม่สามารถดูดซับได้อีก ดังแสดงในรูปที่ 6 (c)



รูปที่ 6 การ uptake  $H_2$  ลงบนชิ้นงานสำหรับการวิเคราะห์พื้นผิวการดูดซับทางเคมีของ (a) เมมเบรนเปล่า (b) ผงตัวเร่งปฏิกิริยา Pt/C 20% โดยมวล (c) เมมเบรนอิเล็กโทรแอลเสมบลี Pt loading =  $0.3\text{ mg/cm}^2$  ทั้งอาโนดและแคตode

ปริมาตรโดยรวมของการดูดซับไฮโดรเจนจะได้รับการบันทึกและทำการคำนวณและเปลี่ยนเป็น มิลลิโมลต่อกรัม ของ แพลตินัม ดังแสดงในตารางที่ 3 ในคอลัมน์ที่ 3 ค่าเบี่ยงเบนมาตรฐาน มาจากการทดลองจำนวน 2 ครั้ง เพื่อทำการหานส่วนประกอบการทดสอบ

สำหรับตัวเร่งปฏิกิริยา Pt/C 20% ปริมาณไฮโดรเจนที่ uptake มีปริมาณ 1.98 มิลลิโมลต่อหนึ่งกรัม แพลตินัม ซึ่งมีค่า dispersion (จำนวนพื้นผิว Pt อะตอม ต่อ จำนวน Pt อะตอมทั้งหมด) ที่คำนวณได้คือ 25.8% ทำให้สามารถคำนวณหาค่าเส้นผ่าศูนย์กลางเฉลี่ยของอนุภาคแพลตินัมได้ที่ประมาณ 4.4 นาโนเมตร (โดยการกำหนดลักษณะแบบทรงกลมและกึ่งทรงกลม)

ตารางที่ 3 ข้อมูลจากการทดสอบการคุณภาพชั้นทางเคมีจากรูปที่ 6 และการคำนวณปริมาณคุณภาพชั้บไฮโดรเจนเป็นมิลลิโมลต่อกรัมแพลตินัม ที่ผงตัวเร่งปฏิกิริยา Pt/C 20% พ布ว่าอนุภาคมีเส้นผ่าศูนย์กลางเฉลี่ยที่ 4.4 นาโนเมตร และมีปริมาตรการกระจายตัวอยู่ที่ 25.8%

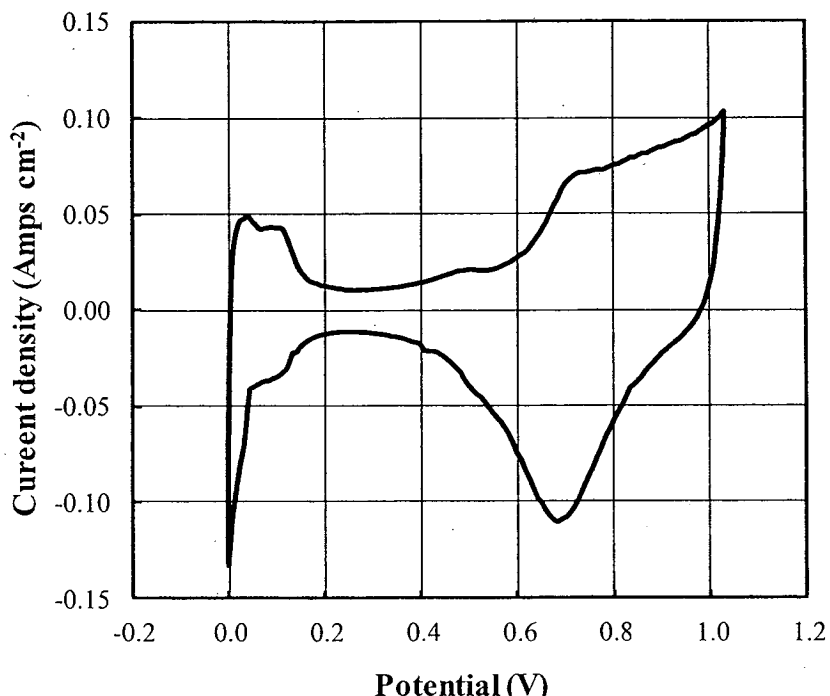
Samples	Pt weight in samples (mg)	H <sub>2</sub> uptake (milimoles g <sub>Pt</sub> <sup>-1</sup> )		No. of Pt surface sites g <sub>Pt</sub> <sup>-1</sup>	
		Average	Standard Dev.	Average	Standard Dev.
Blank membrane	0.0	0.00	0.00	0.00	0.00
Catalyst particles (20wt% Pt/C)	9.9	1.98	±0.01	8.0 × 10 <sup>20</sup>	±2.8 × 10 <sup>18</sup>
Coated membrane (MEA)	13.8	0.96	±0.05	3.8 × 10 <sup>20</sup>	±1.8 × 10 <sup>19</sup>

การคำนวณหาปริมาณจำนวนพื้นผิวของแพลตินัมต่อกรัมของแพลตินัม ก็แสดงในตารางที่ 3 ในคอลัมน์สุดท้าย การคำนวนนี้ไม่ว่าอนุภาคจะมีสันฐานแบบไหนหรือการกระจาดตัวแบบใดก็สามารถหาค่าของพื้นที่ผิวได้ ซึ่งเป็นข้อดีของการวิเคราะห์แบบคุณภาพชั้นทางเคมี ปริมาณพื้นผิวของอนุภาคตัวเร่งปฏิกิริยาแพลตินัม มีค่าประมาณ  $8.0 \times 10^{20}$  ไซต์ต่อกรัมแพลตินัม ในขณะที่ ปริมาณพื้นผิวของตัวเร่งปฏิกิริยาของ MEA มีค่าเฉลี่ยประมาณ  $3.8 \times 10^{20}$  ไซต์ต่อกรัมแพลตินัม นั่นหมายความว่าพื้นผิวของแพลตินัมจะสูญเสียไปประมาณ 52% เมื่อตัวเร่งปฏิกิริยาที่เป็นอนุภาคได้รับการนำมาเคลือบเป็น MEA และการวิเคราะห์ชนิดนี้ถือว่าเป็นครั้งแรกของโลกที่มีการหาค่าการสูญเสียพื้นผิวการทำปฏิกิริยาของแพลตินัมจากอนุภาคมาผลิตเป็น MEA ด้วยการวิเคราะห์แบบคุณภาพชั้นทางเคมี ด้วยความแม่นยำในการวิเคราะห์ที่มีมากกว่าเมื่อเทียบกับการวิเคราะห์ด้วยเทคนิคอื่นๆ (จากผลงานก่อนหน้านี้ของคณะผู้วิจัย: K. Punyawudho et.al. J. of Electrochim. Acta., Vol. 55(39), 2010, pp. 5349–5356) การประยุกต์ใช้การคุณภาพชั้นทางเคมีสำหรับพื้นผิวแพลตินัมจึงสามารถช่วยในการพัฒนาและวิเคราะห์เพื่อที่จะเพิ่มประสิทธิภาพเซลล์เชื้อเพลิงให้ไม่มากก็น้อย โดยปกติแล้วการสูญเสียพื้นที่การทำปฏิกิริยาของแพลตินัมเกิดจากการถูกเคลือบด้วย Nafion solution หรือ ไอโอดอนโนเมอร์ ซึ่งผลก่อสอดคล้องกับการวิเคราะห์ด้วยกล้องอิเล็กตรอนแบบส่องgraphic และส่องผ่าน อย่างไรก็ตามมีโอกาสเป็นไปได้ถ้าเราสามารถลดการสูญเสียพื้นที่การเข้าทำปฏิกิริยาของแพลตินัม ก็สามารถที่จะเพิ่มประสิทธิภาพของเซลล์เชื้อเพลิงได้ การลดการสูญเสียพื้นที่การทำปฏิกิริยาแพลตินัมในระหว่างการผลิต MEA จึงน่าจะเป็นช่องทางการทำวิจัยสำหรับการพัฒนาเซลล์เชื้อเพลิงได้ในอนาคต และการใช้การวิเคราะห์โดยการคุณภาพชั้นทางเคมีเป็นเครื่องมือหนึ่งที่ช่วยในการหาพื้นที่ผิวของ MEA ที่ได้รับการพัฒนา

### 3.4 พื้นที่ผิวทางด้านไฟฟ้าเคมี (Electrochemical Surface Area : ESA)

การวิเคราะห์ทางไฟฟ้าเคมีใช้ MEA ที่มีอัตราส่วน Nafion : Pt/C ที่ 49.3% โดยมวล โดยใช้เทคนิค Cyclic Voltammetry เพื่อทำการคำนวนหาปริมาณแพลตินัมที่ทำปฏิกิริยาไฟฟ้าเคมี ซึ่งเป็นปฏิกิริยาที่เกิดขึ้น ใกล้เคียงกับการเกิดปฏิกิริยานิเชลล์เชือเพลิง เนื่องจากมีการถ่ายเทประจุและการถ่ายเทอเล็กตรอน และสามารถตรวจสอบประจุและคำนวนเพื่อหาปริมาณที่แท้จริงสำหรับการทำปฏิกิริยาไฟฟ้าเคมีของแพลตินัมได้ ด้วยไฟฟ้าของเชลล์เชือเพลิงได้รับการทดสอบในช่วง Open Circuit Voltage (OCV) ถึง 1.14 V ดังแสดงในรูปที่

7



รูปที่ 7 แสดงผลการวิเคราะห์ด้วย Cyclic Voltammetry ของ MEA ที่มีปริมาณ Nafion : Pt/C 49.3% โดยอัตรา การสแกนที่ 25 mV/sec โดย MEA มีปริมาณแพลตินัมทั้งข้างโนดและแคช็อดที่  $0.3 \text{ mg/cm}^2$  เท่ากันทั้งสองด้าน ขณะวิเคราะห์ใช้ความดันบรรยากาศ (A/C),  $T_{cell} = 75^\circ\text{C}$ , ความชื้นสัมพัทธ์ = 95/95% RH (A/C) อัตราการ ให้อิโอดีเจน 300 sccm ที่อ่อนด และ ไนโตรเจน 300 sccm ที่แคช็อด

การเกิดปฏิกิริยาไฟฟ้าเคมีของไธโอดีเจนจะเกิดขึ้นที่บริเวณตั้งแต่ OCV ถึง 0.2 V และช่วงการ เกิดปฏิกิริยาอีกชิ้นเดือน (ความหนาแน่นกระแสที่เป็นบวก) จะได้รับการนำพาพิจารณาหาพื้นที่ผิวของแพล ตินัม เพราะว่าในช่วงการเกิดปฏิกิริยารีดักชัน (ความหนาแน่นกระแสที่เป็นลบ) จะมีค่าที่ไม่คงที่ ขึ้นอยู่กับค่า ตักษ์ไฟฟ้าสุดท้าย (จากผลของการศึกษาที่ผ่านมาของคณะวิจัย: K. Punyawudho et.al. J. of Electrochim. Acta., Vol. 55(39), 2010, pp. 5349–5356 )

ในขณะเกิดปฏิกิริยาอ็อกซิเดชันของไฮโดรเจน (ความหนาแน่นกระแสเป็นบวก) ในช่วง OCV ถึง 0.2 V เป็นช่วงที่ ไฮโดรเจนเกิดการ Desorption กล่าวคือ ไฮโดรเจนที่อยู่บนพื้นผิวของแพลตินัมจะกลายเป็นก๊าซ ไฮโดรเจน ดังสมการข้างล่าง



ดังนั้นประจุของไฮโดรเจนในอน 2 มोเลกุล จะทำให้เกิดก๊าซไฮโดรเจน 1 มोเลกุล ผลการทดสอบจะทำการแปลงค่าประจุทางไฟฟ้าในหน่วยคูลอมป์ ให้เป็นจำนวนโมลของไฮโดรเจนด้วยอัตราส่วน 2:1 ซึ่งจาก การวัดประจุทางไฟฟ้าจากรูปที่ 7 จะได้ค่าทางประจุไฟฟ้าของไฮโดรเจนอ็อกซิเดชันที่ 0.183 คูลอมป์ ดังแสดง ในตารางที่ 4 ค่าเบี่ยงเบนมาตรฐานเกิดจากการทำการทดลองซ้ำอย่างน้อย 3-4 ครั้ง เพื่อยืนยันผลการ ทดลอง ซึ่งจากผลการทดลองที่ได้สามารถคำนวณหาปริมาณพื้นที่ผิวของแพลตินัมที่ใช้ทำปฏิกิริยาไฟฟ้าเคมีมี ค่าประมาณ  $1.6 \times 10^{20}$  ไซต์ต่อกรัมแพลตินัม

ตารางที่ 4 ผลของการวัดพื้นที่ผิวแพลตินัมจากปฏิกิริยาไฟฟ้าเคมี ด้วยเทคนิค Cyclic Voltammetry ที่อัตราการสแกน 25 mV/sec น้ำหนักของแพลตินัมประมาณ 6.9 mg (0.3 mg/cm<sup>2</sup>) จาก 23 cm<sup>2</sup> ของ MEA (ทั้งอ่อนดและแคร์บอน) โดยค่าความหนาแน่นประจุของแพลตินัมมีค่าประมาณ 2.1 C/m<sup>2</sup>

Description	Electric charge (Coulomb)		Pt surface area (m <sup>2</sup> g <sub>Pt</sub> <sup>-1</sup> )		No. of Pt surface sites g <sub>Pt</sub> <sup>-1</sup>	
	Average	Standard Dev.	Average	Standard Dev.	Average	Standard Dev.
Electrochemical Surface Area (ESA)	0.183	±1.10 × 10 <sup>-3</sup>	12.63	±0.08	1.6 × 10 <sup>20</sup>	±9.5 × 10 <sup>17</sup>

ค่าแพลตินัมไชต์ของ MEA ที่คำนวนได้จากปฏิกิริยาไฟฟ้าเคมี มีค่าเพียง 42% เมื่อเทียบกับค่าที่ได้จากการวิเคราะห์ด้วยการคุณภาพทางเคมี ( $3.8 \times 10^{20}$  ไชต์ต่อกรัมแพลตินัม) หรือในอีกแห่งหนึ่งก็คือ 80% ของพื้นที่ผิวของแพลตินัมจากอนุภาคตัวเร่งปฏิกิริยาสูญเสียไปเมื่อถูกนำมาผลิตเป็น MEA และเกิดปฏิกิริยาไฟฟ้าเคมี อย่างไรก็ต้องการวิเคราะห์ด้วยการคุณภาพทางเคมีเป็นการทดสอบที่กระทำในสภาพที่แห้ง (ไม่มีน้ำ) และอยู่ในสถานะก้าวอย่างเดียว ซึ่งปฏิกิริยาที่ไม่ขับข้อนเหมือนปฏิกิริยาไฟฟ้าเคมี ซึ่งเป็นการวิเคราะห์ในสภาพที่มีความชื้นสูง และมีโอกาสที่จะเกิดการควบแน่นของน้ำและไปปลดล็อกการเข้าทำปฏิกิริยาของไฮดรเจน นอกจานี้ผลของการถูกจำกัดการถ่ายเทประจุที่ภายใน CL อันเนื่องมาจากการมีระบบเครือข่ายตัวนำประจุที่ไม่เพียงพอ ก็เป็นสาเหตุหนึ่งที่ทำให้ผลของ Cyclic voltammetry ให้ค่าประจุที่น้อยกว่าที่ควรจะเป็น ทั้งๆที่พื้นที่ผิวของแพลตินัมอาจจะใกล้เคียงกัน เพราะการวัดพื้นที่ผิวแพลตินัมด้วย Cyclic voltammetry ต้องอาศัยการวัดประจุเป็นหลัก ซึ่งเป็นการวัดโดยอ้อม ถ้าประจุถูกจำกัดจากการถ่ายเทประจุที่ไม่สะดวก ก็อาจจะส่งผลให้ผลของการวัดคลาดเคลื่อนได้ ถึงแม้นวิธีนี้จะเป็นวิธีการวิเคราะห์ที่ใกล้เคียงกับการเกิดปฏิกิริยาไฟฟ้าเคมีมากที่สุดก็ตาม ดังนั้นการวิเคราะห์ด้วย Cyclic voltammetry จึงให้ค่าพื้นที่ผิวของแพลตินัมที่น้อยกว่าอยู่แล้ว

ดังนั้นพื้นที่ผิวของแพลตินัมที่ทำปฏิกิริยาไฟฟ้าเคมีจึงลดลงเมื่อแพลตินัมถูกนำมาผลิตเป็น MEA เนื่องมาจากการถูกเคลือบด้วยไอโอดอนโนเมอร์ (Nafion ® solution) ความชื้นในการทำงานของเซลล์เชื้อเพลิง และการถูกจำกัดการถ่ายเทประจุของเครือข่ายไอโอดอนโนเมอร์ ในงานวิจัยนี้ 52% ของแพลตินัมสูญเสียไปกับการถูกเคลือบด้วยไอโอดอนโนเมอร์ และอีก 28% (80 – 52%) สูญเสียไปกับการนำไปใช้ในเซลล์เชื้อเพลิง (ถูกปลดล็อกด้วยน้ำ หรือ การถูกกำจัดการถ่ายเทประจุ  $H^+$ ) การสูญเสียพื้นที่การทำปฏิกิริยาของแพลตินัมทั้งสองกระบวนการนี้สามารถเป็นข้อมูลเพื่อนำไปสู่การต่อยอดการค้นคว่างานวิจัยเพื่อพัฒนาเซลล์เชื้อเพลิงที่มีประสิทธิภาพที่ดีขึ้นได้ ในงานวิจัยนี้เราได้พบว่าการวิเคราะห์ร่วมกันของการคุณภาพทางเคมีและทางไฟฟ้าเคมี ได้อธิบายและแยกแยะถึงกลไกการสูญเสียแพลตินัมที่แตกต่างกัน ซึ่งสามารถนำไปเป็นมาตรฐานในการวิเคราะห์ทำการเข้าทำปฏิกิริยาของแพลตินัมและพัฒนาเพื่อให้เซลล์เชื้อเพลิงสูญเสียแพลตินัมที่น้อยลงได้

#### 4. สรุปผล

MEA ที่ได้จากการพ่นเคลือบด้วยเทคนิค Ultrasonic spraying ที่อัตราส่วนโดยมวลระหว่าง Nafion : Pt/C ได้รับการศึกษา และพบว่าอัตราส่วนโดยมวลระหว่าง 50 – 60% จะให้ประสิทธิภาพดีที่สุด เมื่อทำการวิเคราะห์ทางด้านกายภาพ พบร่วมกันของอนุภาคของตัวเร่งปฏิกิริยาและตัวรองรับมีการจัดวางกันแบบชั้นต่อชั้น (Layer by layer) และมีรูพรุนต่อน้ำมาก ส่งผลถึงการเข้าทำปฏิกิริยาของก้าชได้ดี และเกิดการถ่ายเทน้ำเข้าออกจากชั้นตัวเร่งปฏิกิริยา (CL) ได้ดี นอกจากนี้ยังพบ Ionomer Layer Film ระหว่างชั้นตัวเร่งปฏิกิริยา (CL) และ อิเล็กโทรไลท์เมมเบรน ทำให้การถ่ายเทประจุ  $H^+$  จาก reaction zone ไปยังเมมเบรนมีประสิทธิภาพดียิ่งขึ้น

จากการวิเคราะห์จำนวนพื้นผิวแพลตินัม โดยเมื่อนำแพลตินัมมาผลิตเป็น MEA แล้ว พบร่วมกันของเซลล์เชื้อเพลิง ทั้งในสภาพที่ความชื้นสูงและการถูกจำกัดการถ่ายเท  $H^+$  ภายใน CL ซึ่งการสูญเสียพื้นที่ผิว

ของแพลตินัมนี้เป็นผลมาจากการใช้เทคนิคการวิเคราะห์ที่แตกต่างกัน คือ การดูดซับทางเคมี และการศึกษาทางด้านไฟฟ้าเคมี และการสูญเสียพื้นที่ผิวของแพลตินัมโดยรวมถึง 80% นี้ ทำให้มีโอกาสที่เป็นไปได้ในการที่จะทำการศึกษาในอนาคต เพื่อลดการสูญเสียพื้นที่ผิวแพลตินัม เพื่อนำมาผลิตเป็น MEA สำหรับเซลล์เชื้อเพลิง สำหรับการเพิ่มประสิทธิภาพเซลล์เชื้อเพลิง และลดปริมาณการใช้แพลตินัมเพื่อต้นทุนการผลิตที่ต่ำลง

## 5. ภาคผนวก

### 5.1 Output

มีผลงานตีพิมพ์ ในวารสารนานาชาติ 1 เรื่อง คือ

วารสาร International Journal of Hydrogen Energy มี Impact Factor = 4.086 (เฉลี่ย 5 ปี)  
โดยผู้วิจัย เป็น 1<sup>st</sup> author และ เป็น Co-corresponding author

K. Punyawudho, N. Vorayos, Y. Zhang, S. Shimpalee, and J. R. Monnier, "Identification and quantification of performance losses for PEM fuel cells as determined by selective chemisorption and ESA measurements", Int. J. Hydrogen Energy, Accepted, DOI:10.1016/j.ijhydene.2014.04.187

เอกสารวิชาการนี้ได้รับการตอบรับการตีพิมพ์เมื่อวันที่ 25 เมษายน 2557 ดังข้อมูลล่าง

Elsevier.com - Authors - Track your accepted article

Page 1 of 1

ELSEVIER

- Home
- Products
- User Resources
- About Us
- Support & Contact
- Elsevier Websites

Advanced Product Search

[Author's Home](#) > [Track your accepted article](#)

Help

### TRACK YOUR ACCEPTED ARTICLE

Welcome! [Login](#) to get personalized options. New user? [Register](#) | [Why register?](#)

Your article's details and status are shown in the following table:

#### Article status

Article title:	Identification and quantification of performance losses for PEM fuel cells as determined by selective chemisorption and ESA measurements
Reference:	HE13887
Journal title:	International Journal of Hydrogen Energy
Corresponding author:	Dr. J. R. Monnier
First author:	Dr. K. Punyawudho
Received at Editorial Office:	14 Feb 2014
Article revised:	21 Apr 2014
Article accepted for publication:	25 Apr 2014
Received at Elsevier:	26 Apr 2014
Journal publishing agreement sent to author:	1 May 2014
Offprint order form sent to author:	1 May 2014
PDF offprint:	Yes
Proofs available:	13 May 2014
Proofs returned:	14 May 2014
Journal publishing agreement returned:	1 May 2014
DOI information:	10.1016/j.ijhydene.2014.04.187
Status comment:	No further corrections can now be made. At this moment it is not yet possible to give you information about the publication date. This depends on the number of articles lined up for publication in the journal. Citation information will be shown when available.

[Check for updates](#)



[Home](#) | [Elsevier Sites](#) | [Privacy Policy](#) | [Terms and Conditions](#) | [Feedback](#) | [Site Map](#) | A Reed Elsevier Company

Cookies are set by this site. To decline them or learn more, visit our [Cookies](#) page.

ELSEVIER Copyright © 2014 Elsevier B.V. All rights reserved.

# **Identification and quantification of performance losses for PEM fuel cells as determined by selective chemisorption and ESA measurements**

K. Punyawudho<sup>1,†</sup>, N. Vorayos<sup>2</sup>, Y. Zhang<sup>3</sup>, S. Shimpalee<sup>3</sup>, and J. R. Monnier<sup>3,\*</sup>

<sup>1</sup> Department of Industrial Chemistry, Chiang Mai University, Chiang Mai, 50002, Thailand

<sup>2</sup> Department of Mechanical Engineering, Chiang Mai University, Chiang Mai, 50002, Thailand

<sup>3</sup> Department of Chemical Engineering, University of South Carolina, Columbia, SC 29208, United States

## **Abstract**

Membrane electrode assemblies (MEAs) were fabricated using a high frequency spraying technique. Electrocatalyst powders were directly sprayed onto an electrolyte membrane by ultrasonic spraying. The weight ratios of Nafion to Pt/C were studied, and the ratio about 50-62% yields the maximum current density at the ohmic and gas diffusion region of the polarization curve. Cross sections of the MEA were analyzed by scanning electron microscopy (SEM) and transmission electron microscopy (TEM); images from SEM indicate that the supported catalysts are arranged in a layered manner and that pores in the catalyst coated layer (CCL) are formed. TEM images show the ionomer layer exists between the reaction zone and the electrolyte membrane. The concentration of Pt surface sites in the MEA was measured by selective H<sub>2</sub> chemisorption methods at dry conditions and by cyclic voltammetry (CV) for the electrochemical reaction. The chemisorption measurements indicate that ~52% of the active Pt surface are lost due to ionomer coverage and CV shows an additional 28% of the Pt surface are lost due to blockage by condensed water and the isolation of Pt sites from ionomer and electrical conduction. In total 80% of the Pt surface sites present on the 20 wt% Pt/C starting material are lost during preparation and at operating conditions. Thus, both mechanisms of activity loss are separately identified and quantified.

**Key words:** membrane electrode assembly; MEAs; PEMFCs; fuel cells; H<sub>2</sub> chemisorption; cyclic voltammetry

\*Corresponding author. Tel.: +1 803 777 6813; fax: +1 803 777 8265, E-mail address:  
[monnier@cec.sc.edu](mailto:monnier@cec.sc.edu)

†Co-corresponding author. Tel +66 53 943 405; fax +66 53 892 262, E-mail address:  
[konlayutt.p@cmu.ac.th](mailto:konlayutt.p@cmu.ac.th)